

СООБЩЕНИЯ
ОБЪЕДИНЕННОГО
ИНСТИТУТА
ЯДЕРНЫХ
ИССЛЕДОВАНИЙ
ДУБНА



С324.1
Г-423

9/хк-74
P2-8090

М.В.Гершкевич, А.В.Ефремов

4695/2-74

ТРЕХРЕДЖЕОННОЕ ПЕРЕРАССЕЙНИЕ
В ТЕОРИИ φ^3

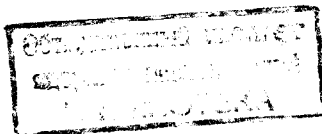
1974

ЛАБОРАТОРИЯ
ТЕОРЕТИЧЕСКОЙ ФИЗИКИ

P2-8090

М.В.Гершкевич, А.В.Ефремов

ТРЕХРЕДЖЕОННОЕ ПЕРЕРАССЕЯНИЕ
В ТЕОРИИ φ^3



Гершкевич М.В., Ефремов А.В.

P2-8090

Трехреджеонное перерасеяние в теории

В α -представлении на примере мандельштамовской диаграммы, имитирующей трехреджеонный обмен в теории ϕ^3 показано, что перерасеяние реджионов приводит к разрезу в точке

$$j = n\alpha(t/n^2) - n + 1$$

Сообщение Объединенного института ядерных исследований
Дубна, 1974

Gershkevich M.V., Efremov A.V.

P2-8090

Three-Reggeon Rescattering in ϕ^2 -Theory

Using α -parameter method it is shown, that nonplanar diagram imitating three-region exchange have the cut in j -plane at the point $j = n\alpha(t/n^2) - n + 1$ with $n=3$. It is shown that this rule is valid for any n .

Communications of the Joint Institute for Nuclear Research.
Dubna, 1974

1. ВВЕДЕНИЕ

Как известно /1/, суммирование лестничных диаграмм в теории ϕ^3 приводит к движущемуся полюсу в комплексной плоскости углового момента в точке $j = \alpha(t)$. Двойной обмен такими полюсами генерирует ветвление в точке $j = \alpha(t_1) + \alpha(t_2) - 1$. Впервые на возможность существования подобных ветвлений указали Аматти, Фубини и Стангеллини /2/. Однако, как выяснилось /3/, рассмотренная ими плоская диаграмма генерирует разрез на нефизическом листе, который на физическом листе аннулируется многочастичными вкладками. Но подобные ветвления были обнаружены у так называемых неплоских диаграмм с ненулевой третьей спектральной функцией ρ_{su} двойного представления Мандельштама /4/ и явились предметом изучения многих работ. Однако, дальнейший прогресс в изучении диаграмм, иллюстрирующих многореджеонный обмен в теории возмущений затруднен ввиду их сложности. Поэтому были предприняты попытки получить многореджеонные ветвления вне рамок теории возмущений. Наибольшего успеха здесь удалось достичь в "реджеонной технике" Грибова /6/, а также в квазипотенциальной /7/ и эйкональной /8/ моделях. Было показано, что многореджеонный обмен генерирует в плоскости углового момента ветвления в точке

$$j = \alpha_c(t) = \alpha(t_1) + \alpha(t_2) + \dots + \alpha(t_n) - n + 1 \left(\sum_{i=1}^n \sqrt{-t_i} = \sqrt{-t} \right),$$

и для идентичных траекторий $\alpha(t_i)$ имеет место правило

$$\alpha_c(t) = n\alpha(t/n^2) - n + 1; \quad n = 2, 3, \dots, \quad /1/$$

которое широко используется в современной феноменологии. Если все реджеоны - помероны, т.е. $\alpha(0)=1$, то правило /1/ при $t=0$ сводится к $\alpha_c(0)=1$, указывая тем самым на необходимость учета перерассеяний особенности Померанчука при изучении рассеяния вперед при высоких энергиях.

Как отмечалось выше, правило /1/ для $n > 2$ не было продемонстрировано в рамках теории возмущений. Поэтому подобная проверка представляет интерес. Это является целью данной работы. На примере неплоской диаграммы, имитирующей трехреджеонный обмен в t -канале в теории ϕ^3 , получено правило /1/ для $n=3$, которое, как видно из рассмотрения, легко может быть обобщено на случай $n > 3$.

2. ТРЕХРЕДЖЕОННЫЙ РАЗРЕЗ

Вклад произвольной диаграммы /рис. 1/ в представлении фейнмановских параметров α записывается в виде

$$T(S, t) = N \int_0^{\infty} \frac{\pi d\alpha}{D^2(\alpha)} \exp[iA(\alpha)S + J(\alpha, t; m^2)], \quad /2/$$

где $S = (s-u)/2$, а $J(\alpha, t; m^2)$ - линейная функция по $t/s, t, u$ - обычные мандельштамовские переменные, N - степень констант связи, равная порядку диаграммы.

Изучение асимптотического поведения диаграмм удобно проводить на языке особенностей в комплексной плоскости меллиновского параметра j , вводимого вместо большой переменной S , которые совпадают с ведущими особенностями в плоскости углового момента. Аккуратный переход к этому параметру требует, как известно, выделения положительной и отрицательной сигнатур, т.е.

$$T^{\pm}(S, t) = -\frac{1}{4i} \int_{\delta-i\infty}^{\delta+i\infty} dj \frac{(-S)^{j \pm S j}}{\sin \pi j} \frac{\Phi^{\pm}(j; t)}{\Gamma(j+1)}, \quad /3/$$

где

$$\Phi^{\pm}(j; t) = N' \int_0^{\infty} \frac{\pi d\alpha}{D^2(\alpha)} |A(\alpha)|^j \epsilon_{\pm}(A) e^{J(\alpha, t; m^2)} \quad /4/$$

и

$$\epsilon_{\pm}(A) = \theta(A) \pm \theta(-A).$$

Асимптотическое поведение диаграмм определяется самой правой особенностью в комплексной j -плоскости. Как видно из /4/, эта особенность может возникнуть как из-за обращения функции $A(\alpha)$ на нижнем краю области интегрирования /краевые особенности/, так и в середине ее из-за сокращения в $A(\alpha)$ членов с разными знаками /пинчевые особенности/ или одновременно из-за сокращения некоторых членов с разными знаками и обращения остальных в нуль на краю области интегрирования по /полукраевые особенности/.

Краевые особенности диаграмм мандельштамовского типа связаны с интегрированием по параметрам α вблизи нуля, отвечающим "перекладинам" лестничных диаграмм и двум линиям каждого "креста" и являются полюсами второго порядка в точке $j = -(k+l)$ для диаграммы, состоящей из k "крестов" и l "лестниц".

Пинчевые особенности появляются из-за знакоопределенности функций параметров крестов /см. /6//. Для диаграммы мандельштамовского типа, состоящей из k "крестов" из-за сигнатурного фактора в /3/ это есть простой полюс в точке $j = -k/2$.

Рассмотрим подробнее полукраевые особенности диаграммы рис. 1. Согласно Полкингхорну /4/ функция $A(\alpha)$ представима в виде

$$A(\alpha) = \frac{D_1(\alpha)D_2(\alpha)}{D(\alpha)} X(\alpha)Y(\alpha) + \bar{A}(\alpha), \quad /5/$$

где $D_{1,2}(\alpha)$ и $D(\alpha)$ - детерминанты блоков и всей диаграммы

$$\begin{aligned} X(\alpha) &= a_1 a_2 - a_3 a_4 + P_2(\alpha) / D_1(\alpha) D_2(\alpha); \\ Y(\alpha) &= a_1' a_2' - a_3' a_4' + P_1(\alpha) / D_1(\alpha) D_2(\alpha). \end{aligned} \quad /6/$$

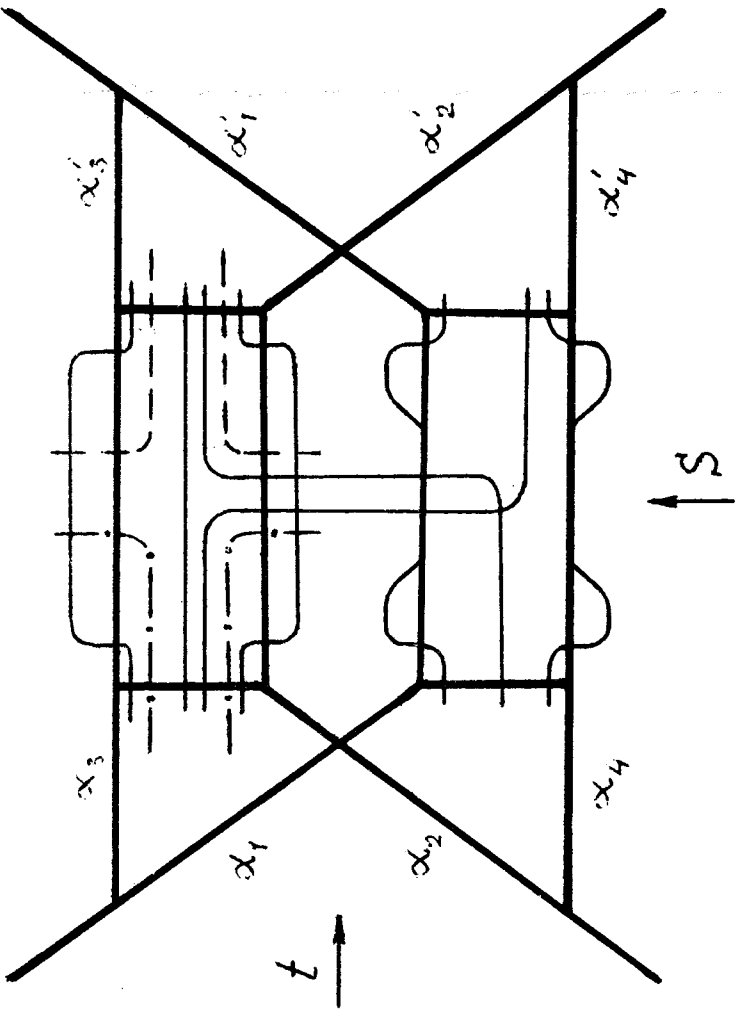


Рис. 1

Функции $P_1(a)$ и $P_2(a)$ состоят из слагаемых от всевозможных "рассечений" блоков, как показано на рис. 1 /пунктирными линиями для $P_1(a)$ и штрих-пунктирными для $P_2(a)$. Аналогичные рассеечения делаются и для другого блока/. Функция $\bar{A}(a)$ имеет вид

$$D_1(a) D_2(a) \bar{A}(a) = Q(a) - P_1(a) P_2(a), \quad /7/$$

где функция $Q(a)$ определяется рассеечениями блоков, как показано на рис. 1 сплошными линиями, поэтому выражение /7/ можно представить в виде

$$\bar{A}(a) = a_1(a) A_1(a) + a_2(a) A_2(a), \quad /8/$$

где $a_{1,2}(a)$ - некоторые функции параметров a , а $A_{1,2}(a)$ - коэффициенты при переменной S в a -представлении амплитуды рассеяния /2/, соответствующие блокам.

Пусть, для определенности, верхний блок представляет собой мандельштамовскую диаграмму /рис. 2/, а нижний - лестничную. Тогда, если сжать в точки хотя бы по одной перекладине каждой лестницы, то диаграмма на рис. 1 станет трехсвязной и из функций $P_{1,2}$, $a_{1,2}$ выпадут члены, отвечающие линиям рассеяния, которые проходят через сжатые перекладины лестниц. Если сжаты все перекладины всех лестниц /главное приближение/, то в функциях $P_{1,2}(a)$ останутся только члены, составленные из параметров "крестов" рис. 2, а функции $a_{1,2}(a)$ будут равны единице.

В главном приближении функция $A_1(a)$ имеет вид:

$$A_1(a) = \frac{d_1(a) d_2(a)}{D_1(a)} x(a) y(a) + B_1(a) + B_2(a), \quad /9/$$

где

$$\begin{aligned} x(a) &= a_5 a_6 - a_7 a_8 + P_2(a) / d_1(a) d_2(a); \\ y(a) &= a'_5 a'_6 - a'_7 a'_8 + P_1(a) / d_1(a) d_2(a), \end{aligned} \quad /10/$$

$d_{1,2}(a)$ - детерминанты, а $B_{1,2}(a)$ - коэффициенты при переменной S для "лестниц" диаграммы рис. 2. Функции

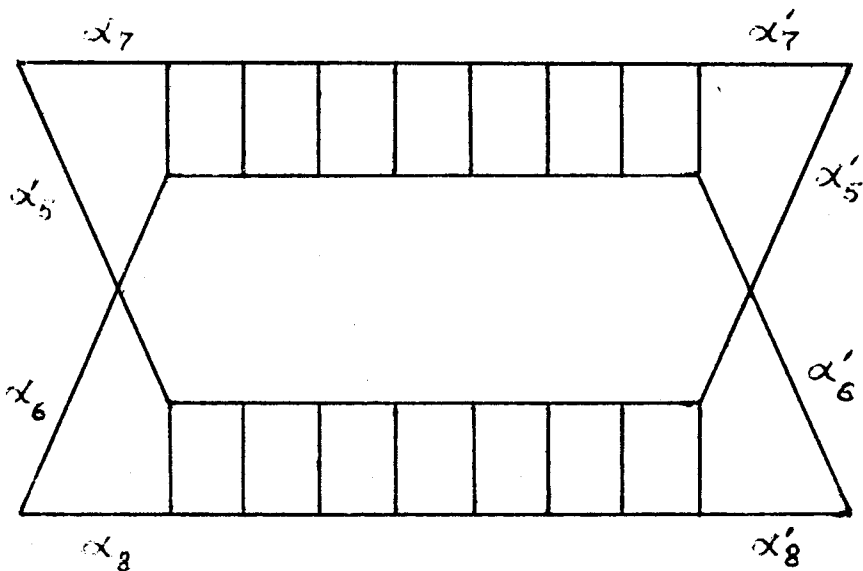


Рис. 2

$P_{1,2}(a)$ зависят только от параметров "крестов" диаграммы рис. 1.

Далее, следуя Тиктопулосу /9/, вводим новые переменные η_1, η_2 для функций /6/ и ξ_1, ξ_2 для функций /10/. Тогда $|A(a)|^j \epsilon_{\pm}(A)$ из выражения /4/ с учетом /5/, 8/ и /9/ с помощью биномиального разложения и перехода от суммирования к интегрированию по параметрам j_1 и j_2 в комплексной плоскости можно записать в виде

$$|A(a)|^j \epsilon_{\pm}(A) \sim \delta(X) \delta(Y) \delta(x) \delta(y) \times$$

$$\times \int_{\delta_1 - i\infty}^{\delta_1 + i\infty} dj_1 \frac{e^{i\pi j_1 \pm 1}}{\Gamma(j_1 + 1) \sin \pi j_1} \int_{-1}^{+1} \int_{-1}^{+1} d\eta_1 d\eta_2 \frac{D_1 D_2}{D} \eta_1 \eta_2^{j_1} \epsilon_{\pm}(\eta_1 \eta_2) \times \quad /11/$$

$$\times \int_{\delta_2 - i\infty}^{\delta_2 + i\infty} dj_2 \frac{e^{i\pi j_2 \pm 1}}{\Gamma(j_2 + 1) \sin \pi j_2} |A_2(a)|^{j_2} \epsilon_{\pm}(A_2) \frac{K^{\pm}(j, j_1, j_2; a)}{\Gamma(j - j_1 - j_2 + 1)},$$

где

$$K^{\pm}(j, j_1, j_2; a) = \int_{-1}^{+1} \int_{-1}^{+1} d\xi_1 d\xi_2 \left[\frac{d_1 d_2}{D_1} \xi_1 \xi_2 + B_1(a) + \quad /12/$$

$$B_2(a) \right]^{j - j_1 - j_2} \epsilon_{\pm}(A_1).$$

Выражение /11/ задает величину $|A(a)|^j \epsilon_{\pm}(A)$, входящую в /4/, для диаграммы рис. 2 и производит, как известно, полюса в точке $j' = -3$, суммирование которых приводит к движущемуся ветвлению.

Интегрирование по η_1 и η_2 в выражении /11/ дает полюс второго порядка в точке $j_1 = -1$, один порядок которого поглощается сигнатурным фактором по j_1 . Сдвигающую линию δ_1 в j_1 -плоскости влево и учитывая только вклад полюса в точке $j_1 = -1$, получим выражение /4/ в виде:

$$\Phi^{\pm}(j;t) \sim \int_0^{\infty} \frac{\Pi da}{D(a)D_1(a)D_2(a)} \delta(X)\delta(Y)\delta(x)\delta(y) e^{J(a;t;m^2)} \quad /13/$$

$$\times \int_{\delta_2-i\infty}^{\delta_2+i\infty} dj_2 \frac{\Gamma(j_2+1)(e^{i\pi j_2} \pm 1)}{\Gamma(j_2+1) \sin \pi j_2} |A_2(a)|^{j_2} \epsilon_{\pm}(A_2) \frac{K^{\pm}(j, j_2; a)}{\Gamma(j-j_2+2)}$$

В главном приближении это выражение соответствует диаграмме, изображенной на рис. 3, которая получается из диаграммы рис. 1 при сжатии всех перекладов всех лестниц в точки. Для такой диаграммы можно ввести двумерные инварианты Друммонда ^{/10/} t_1, t_2, t_3, t_4 /рис. 3/, что позволяет в /13/ разделить члены, соответствующие сжатым лестничным диаграммам и "отделить" их от "крестов". Тогда выражение /13/ может быть представлено в виде свертки парциальных амплитуд рассеяния, соответствующих лестничной $\Phi_1(j, t_1)$ и мандельштамовской $\Phi_2(j; t_2, t_3)$ диаграммам с функциями $f(t, t_1; t_2, t_3, t_4)$, которые, в свою очередь, соответствуют частям диаграммы рис. 1, состоящим из "крестов" одной из ее сторон. Таким образом, имеем

$$\Phi^{\pm}(j;t) \sim \int_{-\infty}^0 \frac{f^2 dt_1 dt_2 dt_3 dt_4}{[r(t, t_1, t_4)r(t_4, t_2, t_3)]^{1/2}} \Gamma(j+1) \times \quad /14/$$

$$\times \int_{\delta_2-i\infty}^{\delta_2+i\infty} dj_2 \frac{e^{i\pi j_2} \pm 1}{\sin \pi j_2} \frac{\Phi_1^{\pm}(j_2; t_1)}{\Gamma(j_2+1)} \frac{\Phi_2^{\pm}(j+1-j_2; t_2, t_3)}{\Gamma(j-j_2+2)}$$

Функции $r(x, y, z) = -x^2 - y^2 - z^2 + 2(xy + xz + yz)$ появляются из якобианов заменой интегрирований по 4-импульсам петель между "лестницами" на интегрирования по инвариантам t_i . Главный вклад выражение /14/ дает в области, где $r \sim 0$, т.е.

$$\sqrt{-t_1} + \sqrt{-t_2} + \sqrt{-t_3} = \sqrt{-t} \quad /15/$$

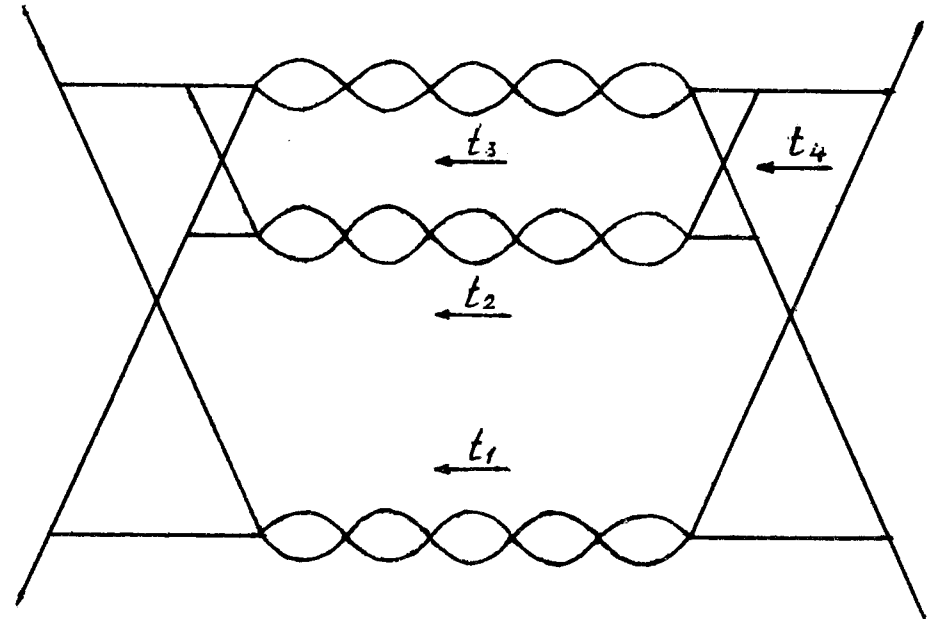


Рис. 3

Как известно /1/, $\Phi_1(j_2; t)$ имеет полюса в точке $j_2 = -1$, порядок которых определяется числом "перекладин" лестничной диаграммы, стянутых в точку. Суммирование этих полюсов приводит в плоскости j_2 к движущемуся полюсу в точке $j_2 = a(t_1)$, а суммирование особенностей функции $\Phi_2^\pm(j+1-j_2; t_2, t_3)$, как выше указывалось, - к движущемуся ветвлению в точке $j = j_2 + a(t_2) + a(t_3) - 2$. Интегрирование по j_2 в /14/ приводит к выражению

$$\Phi_3(j; t_1) \sim [j - a(t_1) - a(t_2) - a(t_3) + 2]^{-1}, \quad /16/$$

где $a(t_i)$ ведущие особенности амплитуд рассеяния лестничных диаграмм.

Нетрудно заметить, что процедура получения трехреджеонного разреза /формула /16// может быть обобщена на случай большего числа реджеонов, если оба блока на *рис. 1* являются мандельштамовскими диаграммами /рис. 2/. В этом случае выражение /14/ будет сверткой парциальных амплитуд $\Phi_2(j; t_1, t_2)$ и $\Phi_2(j; t_3, t_4)$, которая является парциальной амплитудой $\Phi_4(j; t_i)$:

$$\Phi_4(j; t_i) \sim [j - a(t_1) - a(t_2) - a(t_3) - a(t_4) + 3]^{-1}. \quad /17/$$

Используя /16/, можно получить движущееся ветвление для диаграммы *рис. 1*, у которой один блок является мандельштамовской диаграммой с тремя, а другой - с двумя лестницами и так далее. Таким образом, для диаграммы с n лестницами можно получить движущееся ветвление в точке $j = a(t_1) + a(t_2) + \dots + a(t_n) - n + 1$. Причем, переменные t_i связаны соотношением

$$\sum_{i=1}^n \sqrt{-t_i} = \sqrt{-t}, \quad /18/$$

которое является обобщением /15/ и следует из того, что число функций τ в /14/ совпадает с числом "крестов" одной из сторон мандельштамовской диаграммы. Полагая $t_1 = t_2 = \dots = t_n = t/n^2$, приходим к правилу /1/.

ЗАКЛЮЧЕНИЕ

Таким образом, суммирование в теории возмущений последовательностей диаграмм мандельштамовского типа, т.е. имеющих третью спектральную функцию ρ_{su} двойного представления Мандельстама, приводит в комплексной плоскости углового момента к движущимся ветвлениям, положения которых определяются простым правилом для идентичных траекторий: $j = a_c(t) = n a(t/n^2) - n + 1$.

Однако возникает трудность при вычислении функции скачка $\Delta \Phi(j; t)$ на соответствующем разрезе, так как теория возмущений не дает информации ни о виде функции скачка, ни о ее поведении в окрестности точки ветвления. В настоящее время не существует удовлетворительной процедуры ее вычисления, хотя некоторый прогресс сделан с помощью эйкональной модели /8/, которая предсказывает для $\Delta \Phi(j; t)$ логарифмическое ветвление вида:

$$\Delta \Phi(j; t) \sim [j - a_c(t)]^{n-2} \ln [j - a_c(t)]$$

при $n > 1$. Однако сомнительно, чтобы это выражение имело бы место для $n=2$, так как условие t -канальной унитарности /11/ требует, чтобы функция $\Delta \Phi(j; t)$ была сингулярной и исчезла в точке ветвления $j = a_c(t)$, т.е.

$$\Delta \Phi(j; t) \underset{j \rightarrow a_c(t)}{\sim} [j - a_c(t)]^\beta,$$

где β - неизвестный фактор.

Другой вопрос, который широко обсуждается в современной литературе, это - сила разреза. Ясно, что величина вклада разреза относительно вклада полюса ослаблена из-за дополнительных логарифмов, но насколько - теория возмущений ответа не дает. Феноменологические подгонки указывают на необходимость введения так называемых "ливневых" факторов /12/, которые выбираются различными для разных процессов и служат для усиления разрезов. Простым примером могут быть процессы $\gamma p \rightarrow \pi^+ n$ и $p p \rightarrow p p$, в которых доминирует обмен π -траекторией. Если разрез / π -померон/

является конспиратором /13/, то он будет давать относительно большой вклад $\lambda = 3,55$ /в эйкональной модели $\lambda = 1$ /.

Литература

1. B.W.Lee, R.F.Sawyer. *Phys.Rev.*, 127, 2266, 1962.
P.G.Federbush, M.T.Grisaru. *Ann.Phys.*, 22, 263, 1963.
J.C.Polkinghorne. *Journ. Math.Phys.*, 4, 503, 1963.
2. D.Amati, S.Fubini and A.Stanghellini. *Nuovo Cimento.*, 26, 896, 1962;
Phys.Lett., 1, 29, 1962.
3. S.Mandelstam. *Nuovo Cimento*, 30, 1127, 1963.
J.C.Polkinghorne. *Phys.Lett.*, 4, 24, 1963.
4. J.C.Polkinghorne. *Journ. Math. Phys.*, 5, 431, 1964.
S.Mandelstam. *Nuovo Cimento*, 30, 1148, 1963.
5. G.E.Hite. *Acta Physica Austriaca. Suppl.*, v. III, 180, 1970.
P.V.Landshoff. *Acta Physica Austriaca, Suppl.* v.III, 145, 1970.
6. В.Н.Грибов. *ЖЭТФ*, 26, 414, 1968.
7. V.R.Garsevanishvili et al. *JINR Preprint, E2-4251, Dubna, 1969.*
/см. ЭЧАЯ, 1, 98, 1970/.
8. R.C.Arnold. *Phys.Rev.*, 153, 1523, 1967.
9. G.Tiktopoulos. *Phys.Rev.*, 131, 2373, 1963.
10. I.I.Drummond. *Nuovo Cimento*, 29, 720, 1963.
11. J.B.Bronzan, C.E.Jones. *Phys.Rev.*, 160, 1494, 1967.
12. А.Б.Кайдалов, *ЯФ*, 16, 389, 1972.
13. G.L.Kane et al. *Phys.Rev.Lett.*, 25, 1519, 1970.

Рукопись поступила в издательский отдел
11 июля 1974 года.